

ارائه مدل ریاضی روش‌های پنهان‌نگاری LSB-F و LSB-M

وجیهه ثابتی
دانشکده برق و کامپیوتر
دانشگاه صنعتی اصفهان
sabeti@ec.iut.ac.ir

شادرخ سماوی
دانشکده برق و کامپیوتر
دانشگاه صنعتی اصفهان
samavi96@cc.iut.ac.ir

مجتبی مهدوی
دانشکده برق و کامپیوتر
دانشگاه صنعتی اصفهان
mahdavi@ec.iut.ac.ir

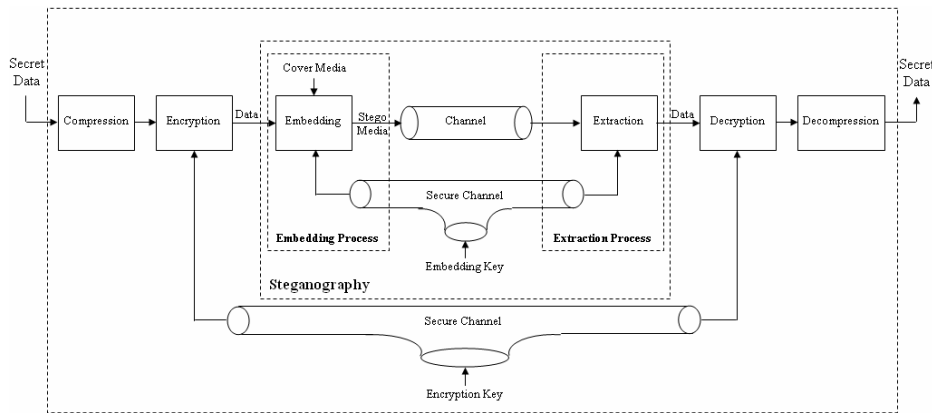
چکیده: الگوریتم‌های جاسازی در بیت کم ارزش پیکسل‌های تصویر (*LSB-M* و *LSB-F*) از رایج‌ترین و ساده‌ترین روش‌های پنهان‌نگاری است. در این مقاله مدلی ریاضی برای این روش‌ها ارائه شده است. این مدل می‌تواند برای توجیه رفتار و خواص این دو نوع پنهان‌نگاری بکار رود. هیستوگرام تصویر یکی از ویژگی‌های تصویر است که در اثر استفاده از روش‌های پنهان‌نگاری تغییر می‌کند. با استفاده از مدل ریاضی ارائه شده، رفتار هیستوگرام تصویر بعد از جاسازی نیز مدل شده است. سپس از مدل هیستوگرام تصویر، برای تخمین میزان تغییرات هیستوگرام در اثر جاسازی استفاده گردیده است. صحت مدل‌های ارائه شده توسط شبیه‌سازی به اثبات رسیده است.

واژه‌های کلیدی: پنهان‌نگاری، هیستوگرام، مدل ریاضی، بیت کم ارزش

۱- مقدمه

متن، تصویر، صوت و ویدئو را می‌توان به صورت داده‌های دیجیتال بیان کرد. فراگیری فزاینده و رشد سریع استفاده از اینترنت انسان‌ها را به سوی جهان دیجیتال و ارتباط از طریق داده‌های دیجیتال سوق داده است. امنیت ارتباطات دانشی است که شامل علوم مختلفی چون رمزنگاری^۱، ته‌نقش-نگاری^۲، ارتباطات پوشیده^۳ و ... می‌باشد [1].

پنهان‌نگاری هنر ارتباط پنهانی است و هدف آن پنهان کردن ارتباط به وسیله قرار دادن پیام در یک رسانه پوشانه^۴ است به گونه‌ای که کمترین تغییر قابل کشف را در آن ایجاد نماید و نتوان موجودیت پیام پنهان در رسانه را حتی به صورت احتمالی آشکار ساخت [2]. رمزنگاری نیز یکی از روش‌های امن کردن ارتباطات است. در رمزنگاری تلاشی برای پنهان کردن پیام کد شده انجام نمی‌شود و هدف، انتقال اطلاعات به گونه‌ای است که طرف



شکل ۱: شمای کلی یک ارتباط سری با استفاده از پنهان‌نگاری

رمزگشایی^{۱۰} و سپس بازگشایی^{۱۱} را روی پیام استخراج شده اعمال کند[4].

هدف پنهان‌نگاری، غیرقابل کشف بودن وجود داده پنهان شده است، اما اکثر روش‌های پنهان‌نگاری اثرات قابل کشفی در شیء پوشانه باقی می‌گذارند. استفاده از این تغییرات برای کشف وجود یک پیام مخفی در یک ارتباط، هدف پنهان-شکنی^{۱۲} است[5].

کارهای زیادی در زمینه پنهان‌نگاری و پنهان‌شکنی در تصاویر انجام شده است. پنهان‌نگاری معمولاً در دو حوزه مکان^{۱۳} و حوزه تبدیل^{۱۴} صورت می‌گیرد. برای مثال جاسازی داده‌ها در بیت‌های کم ارزش تصاویر [6,7] از حوزه مکان و روش‌هایی مانند *Jsteg*، *OutGuess* و *F5* [9,8,5] از حوزه تبدیل استفاده می‌کنند.

در این مقاله سعی گردیده است تا یک مدل ریاضی برای رفتار روش‌های پنهان‌نگاری *LSB-F*^{۱۵} و *LSB-M*^{۱۶} ارائه گردد. چنین مدلی می‌تواند در توجیه رفتار و خواص و سطح امنیت و ظرفیت این نوع پنهان‌نگاری بکار رود. هیستوگرام تصویر یکی از ویژگی‌هایی است که در جاسازی تغییر می‌کند و استفاده از تغییرات هیستوگرام مبنای بسیاری از حملات موفق می‌باشد[10]. با استفاده از مدل ریاضی ارائه شده برای

سوم قادر به خواندن آن نباشد. اما، پنهان‌نگاری پیام رمز را تغییر نمی‌دهد، بلکه آن را داخل یک شیء پوشانه به گونه‌ای مخفی می‌کند که قابل دیدن نباشد[3].

در شکل ۱، شمای کلی یک ارتباط سری با استفاده از پنهان‌نگاری نشان داده شده است. هدف در این ارتباط تبادل یک پیام سری است. این پیام علیرغم شکل ظاهری خود باید به صورت یک رشته بیتی بیان شود. استفاده از دو مازول فشرده-سازی^۵ و رمزنگاری^۶ قبل از اعمال روش پنهان‌نگاری الزامی است. فشرده کردن باعث حذف افزونگی‌های موجود در داده و در نتیجه جلوگیری از اتلاف ظرفیت تصویر می‌شود. برای افزایش امنیت ارتباط، یک الگوریتم رمزنگاری برای پنهان کردن مفهوم پیام، روی داده فشرده شده اعمال می‌شود.

به طور کلی روش‌های پنهان‌نگاری از دو فرآیند جاسازی^۷ و استخراج^۸ تشکیل شده‌اند. در فرآیند جاسازی، داده فشرده شده و رمز شده با استفاده از یک الگوریتم جاسازی در یک رسانه پوشانه پنهان می‌شود و رسانه گنجانده^۹ تولید می‌شود. برای افزایش امنیت معمولاً از یک کلید جاسازی در این مرحله استفاده می‌شود. گیرنده با استفاده از یک الگوریتم استخراج، داده مخفی شده را از رسانه گنجانده خارج می‌کند. گیرنده برای خارج کردن پیام اصلی، باید الگوریتم‌های

10 Decryption

11 Decompression

12 Steganalysis

13 spatial domain

14 transform domain

15 Least Significant Bit Flipping (LSB-F)

16 Least Significant Bit Matching (LSB-M)

5 Compression

6 Encryption

7 Embedding

8 Extraction

9 Stego Media



تصویر برابر است. به همین دلیل این روش در برابر حملاتی آسیب پذیر است که هیستوگرام را بررسی می کنند. برخی از این حملات در [10,13,14] آورده شده است. اما با توجه با این که روش $LSB-M$ از ایجاد POV در هیستوگرام جلوگیری می کند، در برابر حملات ارائه شده برای $LSB-F$ مقاوم است. در مورد $LSB-M$ نیز حملات دیگری مطرح گردیده است، اما هیچ کدام از آنها کاملاً موفق نبوده اند. برخی از این حملات در [11,15] آورده شده است.

۳- مدل ریاضی روش های $LSB-M$ و $LSB-F$

داده هایی که در فرآیند جاسازی مورد استفاده قرار می گیرند، باید ابتدا فشرده و سپس رمز شوند. داده هایی که به این صورت تولید می شوند خواصی مانند یک دنباله بیت تصادفی دارند. امید ریاضی تعداد بیت های یک و صفر در این رشته بیت با یکدیگر برابر است [16]. جاسازی یک بیت داده تصادفی در یک پیکسل باعث ایجاد تغییراتی در مقدار سطح روشنایی آن پیکسل می گردد. با توجه به اینکه جاسازی به روش های $LSB-M$ و $LSB-F$ تنها مقدار پیکسل را به اندازه یک واحد کاهش یا افزایش می دهد، می توان تغییر مقدار سطح روشنایی یک پیکسل در اثر جاسازی یک بیت داده تصادفی را به صورت شکل ۲ مدل کرد.

اگر سطح روشنایی یک پیکسل را i فرض کنیم و سطح روشنایی همین پیکسل بعد از جاسازی در آن را j بنامیم، آنگاه در حالت کلی، با فرض اینکه مقدار داده جاسازی شده d باشد، احتمال تغییر i به j برابر است با:

$$P(i \rightarrow j) = P(i \rightarrow j | d=0) P(d=0) + P(i \rightarrow j | d=1) P(d=1)$$

با توجه به الگوریتم بکار رفته برای جاسازی، مقدار این احتمال در حالات مختلف، متفاوت است. در جدول ۱، مقدار این احتمال در حالات گوناگون نشان داده شده است. با توجه به مقادیر بدست آمده در جدول ۱، می توان شکل ۲ را برای روش $LSB-F$ به صورت شکل ۳-الف و برای روش $LSB-M$ به صورت شکل ۳-ب نمایش داد.

هیستوگرام تصویر، تخمینی از تغییر ایجاد شده در هیستوگرام تصویر در اثر جاسازی به روش های $LSB-F$ و $LSB-M$ قابل محاسبه است.

در ادامه مقاله، ابتدا الگوریتم $LSB-M$ و $LSB-F$ به صورت مختصر بررسی می شود. سپس در بخش ۳، مدل ریاضی متناظر با این روش ها ارائه می شود. با استفاده از این مدل های ریاضی، در بخش ۴ روشی برای محاسبه تخمین خطای هیستوگرام در اثر اعمال این روش ها ارائه می شود. در بخش ۵، نتایج تخمین خطای حاصل از تئوری و شبیه سازی مقایسه می شود.

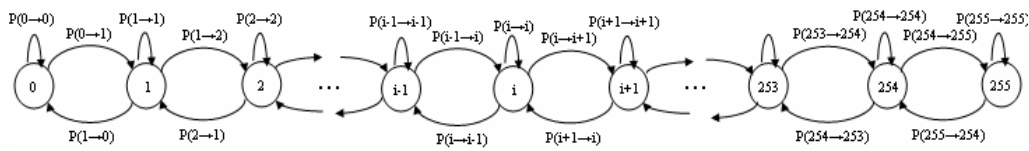
۲- الگوریتم $LSB-M$ و $LSB-F$

رایج ترین و ساده ترین روش جاسازی در حوزه مکانی، روش جاسازی در بیت های کم ارزش است که پیام را در کم ارزش ترین بیت های پیکسل ها قرار می دهد. جاسازی به این روش ساده ترین روش پنهان نگاری در حوزه مکانی است و روش های پنهان نگاری بسیاری بر مبنای این روال تا به حال ارائه شده است. بصورت کلی، روش های پنهان نگاری در بیت های کم ارزش را در دو دسته $LSB-M$ و $LSB-F$ می توان تقسیم بندی کرد [11].

در روش $LSB-F$ ، تنها کم ارزش ترین بیت هر پیکسل تغییر می کند. به عبارت دیگر در این روش بیت کم ارزش پیکسل های تصویر پوشانه با بیت های پیام جاگذاری می شوند. در روش $LSB-M$ نیز هدف یکسان کردن بیت LSB پیکسل های تصویر با بیت های پیام است، اما ممکن است برای رسیدن به این هدف چند بیت پیکسل تغییر یابد. در این روش در صورت تطابق بیت داده با بیت کم ارزش پیکسل، تغییری در پیکسل ایجاد نمی شود. در صورت عدم تطابق، مقدار پیکسل به صورت تصادفی کاهش یا افزایش می یابد. به همین دلیل این روش با عنوان روش جاسازی ± 1 نیز شناخته می شود [12].

جاسازی به روش $LSB-F$ ، جفت رنگ ها یا زوج مقادیری^{۱۷} در هیستوگرام تصویر ایجاد می کند که تعداد رخداد آن ها در

¹⁷ Pair Of Value (POV)



شکل ۲: مدل کلی تغییر مقدار سطح روشنایی یک پیکسل در اثر جاسازی یک بیت داده

هیستوگرام رنگ پیکسل‌های تصویر بوجود خواهد آمد. در ادامه تصاویر طیف خاکستری^{۲۰} مورد بررسی قرار می‌گیرند. روش پیشنهادی را می‌توان برای تصاویر رنگی نیز تعمیم داد، زیرا تصاویر رنگی را می‌توان به صورت سه تصویر طیف خاکستری مجزا در نظر گرفت.

تصویرهای طیف خاکستری با پیکسل‌های ۸ بیتی دارای روشنایی در بازه $[0, 255]$ می‌باشند. فرض کنید روشنایی تصویر در موقعیت (m, n) را با $I(m, n)$ نشان دهیم. هیستوگرام، بیانگر فرکانس رخداد هر روشنایی در تصویر است، به عبارت دیگر:

$$h_i = |\{(m, n) | I(m, n) = i\}|$$

در اینجا منظور از h_i ، تعداد پیکسل‌های با روشنایی i در تصویر است [11]. فرض کنید برای هیستوگرام تصویر پوشانه و تصویر استگو به ترتیب از نمادهای h_i و h'_i استفاده کنیم. در روش $LSB-M$ مقدار h'_i تحت تأثیر سه مقدار h_i, h_{i-1} و h_{i+1} قرار می‌گیرد. به عبارت دیگر، می‌توان گفت

در شکل ۳-الف دیده می‌شود که پیکسلی با سطح روشنایی زوج در اثر جاسازی بیت ۱ به سطح روشنایی فرد تغییر می‌کند. در روش $LSB-F$ ، اگر داده‌های جاسازی شده را تصادفی فرض کنیم پیکسلی با سطح روشنایی $2i$ به احتمال $1/2$ به سطح روشنایی $2i+1$ تبدیل می‌شود.

جاسازی به روش $LSB-M$ را می‌توان با اضافه شدن اغتشاش^{۱۸} به تصویر مدل کرد. تصویر استگو حاصل جمع تصویر پوشانه و نویز گوسی^{۱۹} است. در این روش، نویز اضافه شده تنها سه مقدار $+1, 0, -1$ را می‌تواند داشته باشد. احتمال اضافه شدن هر کدام از این مقادیر بدین صورت است:

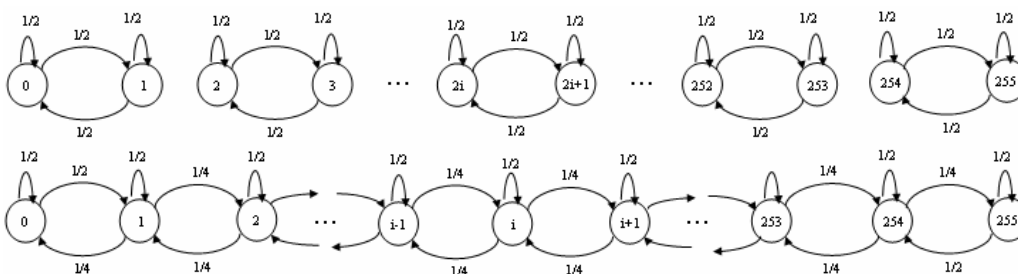
$$p(-1) = 1/4, \quad p(0) = 1/2, \quad p(1) = 1/4$$

در این صورت با احتمال $1/2$ مقدار پیکسل تغییری نمی‌کند ($p(0) = 1/2$) و با احتمال $1/4$ مقدار پیکسل افزایش ($p(1) = 1/4$) یا کاهش ($p(-1) = 1/4$) می‌یابد.

حال می‌خواهیم بدانیم اگر الگوریتم $LSB-F$ و $LSB-M$ را یک بار روی تمام پیکسل‌های تصویر اعمال کنیم، چه تغییراتی در

جدول ۱: احتمال تغییرات سطح روشنایی پیکسلها

j	i	روش	$P(i \rightarrow j d=0)$	$P(d=0) + P(i \rightarrow j d=1)$	$P(d=1)$	$P(i \rightarrow j)$	
$i-1$	زوج	LSB-F	0	* 1/2 +	0	* 1/2	0
		LSB-M	0	* 1/2 +	1/2	* 1/2	1/4
	فرد	LSB-F	1	* 1/2 +	0	* 1/2	1/2
		LSB-M	1/2	* 1/2 +	0	* 1/2	1/4
i	زوج	LSB-F	1	* 1/2 +	0	* 1/2	1/2
		LSB-M	1	* 1/2 +	0	* 1/2	1/2
	فرد	LSB-F	0	* 1/2 +	1	* 1/2	1/2
		LSB-M	0	* 1/2 +	1	* 1/2	1/2
$i+1$	زوج	LSB-F	0	* 1/2 +	1	* 1/2	1/2
		LSB-M	0	* 1/2 +	1/2	* 1/2	1/4
	فرد	LSB-F	0	* 1/2 +	0	* 1/2	0
		LSB-M	1/2	* 1/2 +	0	* 1/2	1/4



شکل ۳: مدل تغییر مقدار سطح روشنایی یک پیکسل در اثر جاسازی یک بیت داده در روش (الف) LSB-M (ب) LSB-F

مقدار نهایی h'_i حاصل سه مورد زیر است:

- تعداد پیکسل‌هایی با روشنایی $i-1$ که نویزی با مقدار $+1$ به آن‌ها اضافه شده است.
- تعداد پیکسل‌هایی با روشنایی i که مقدار آن‌ها تغییری نکرده است.
- تعداد پیکسل‌هایی با روشنایی $i+1$ که نویزی با مقدار -1 به آن‌ها اضافه شده است.

می‌توان هر کدام از موارد بالا را با یک توزیع برنولی مدل کرد. مورد اول یک آزمایش برنولی است که h_{i-1} بار تکرار می‌شود و در هر تکرار احتمال موفقیت آن (تبدیل $i-1$ به i) $1/4$ و احتمال شکست (عدم تبدیل $i-1$ به i) $3/4$ است. مورد دوم نیز یک آزمایش برنولی است که h_i بار تکرار می‌شود و در هر تکرار احتمال موفقیت آن (عدم تغییر i) $1/2$ و احتمال شکست (تغییر i) نیز $1/2$ است. مورد سوم نیز توزیعی مانند مورد اول دارد. بنابراین در صورتی که از تمام پیکسل‌های تصویر برای جاسازی استفاده شود، می‌توان متغیر تصادفی توزیع تعداد پیکسل‌های با مقدار i پس از جاسازی H'_i ، را به صورت زیر بیان کرد:

دوجمله‌ای مربوطه را تعریف کرد. $M_{+1} = \sum_{j=1}^{h_{i-1}} S_{+1}$ یک متغیر دوجمله‌ای با پارامترهای $n = h_{i-1}$ و $p = 1/4$ است. $M_0 = \sum_{j=1}^{h_i} S_0$ نیز یک متغیر دوجمله‌ای با پارامترهای $n = h_i$ و $p = 1/2$ است. به همین ترتیب $M_{-1} = \sum_{j=1}^{h_{i+1}} S_{-1}$ یک متغیر دوجمله‌ای با پارامترهای $n = h_{i+1}$ و $p = 1/4$ است. بنابراین مجموع سه متغیر دو جمله‌ای است.

$$H'_i = M_{+1} + M_0 + M_{-1}$$

با توجه به این نکته که در صورت بزرگ بودن مقدار n ، می‌توان توزیع دوجمله‌ای با پارامترهای (n, p) را با یک توزیع نرمال با پارامترهای $(np, np(1-p))$ تخمین زد، بنابراین متغیر تصادفی H'_i را می‌توان به صورت زیر نیز تعریف کرد:

$$\sum_{i=1}^n N(\mu_i, \sigma_i^2) = N\left(\sum_{i=1}^n \mu_i, \sum_{i=1}^n \sigma_i^2\right)$$

بنابراین با توجه به این رابطه، H'_i را می‌توان به صورت یک متغیر نرمال بیان کرد:

$$H'_i = N\left(\mu_i = \frac{(h_{i-1} + 2h_i + h_{i+1})}{4}, \sigma_i^2 = \frac{(3h_{i-1} + 4h_i + 3h_{i+1})}{16}\right)$$

البته در این رابطه برای i های موجود در مرز استثنائاتی نیز باید در نظر گرفته شود. h_{-1} و h_{256} را صفر فرض می‌کنیم و برای 1 و 255 پارامترهای توزیع به صورت زیر است:

$$H'_1 = N\left(\mu_1 = \frac{(2h_0 + 2h_1 + h_2)}{4}, \sigma_1^2 = \frac{(4h_0 + 4h_1 + 3h_2)}{16}\right)$$

$H'_i = \sum_{j=1}^{h_{i-1}} S_{+1} + \sum_{j=1}^{h_i} S_0 + \sum_{j=1}^{h_{i+1}} S_{-1}$

آزمایش برنولی اول، دوم و سوم به ترتیب با نمادهای S_{+1} (اضافه شدن نویزی با مقدار $+1$)، S_0 (اضافه شدن نویزی با مقدار 0) و S_{-1} (اضافه شدن نویزی با مقدار -1) نمایش داده شده‌اند. اگر n آزمایش برنولی مستقل، همگی با احتمال موفقیت p انجام شوند، آنگاه متغیر تصادفی X که تعداد موفقیت‌ها را نشان می‌دهد، متغیری دوجمله‌ای با پارامترهای n و p است. با توجه به مستقل بودن تکرارهای مختلف آزمایش‌های برنولی تعریف شده در بالا، می‌توان متغیرهای

$$H'_i = \sum_{j=1}^{h_{i-1}} S_{+1} + \sum_{j=1}^{h_i} S_0 + \sum_{j=1}^{h_{i+1}} S_{-1}$$

آزمایش برنولی اول، دوم و سوم به ترتیب با نمادهای S_{+1} (اضافه شدن نویزی با مقدار $+1$)، S_0 (اضافه شدن نویزی با مقدار 0) و S_{-1} (اضافه شدن نویزی با مقدار -1) نمایش داده شده‌اند. اگر n آزمایش برنولی مستقل، همگی با احتمال موفقیت p انجام شوند، آنگاه متغیر تصادفی X که تعداد موفقیت‌ها را نشان می‌دهد، متغیری دوجمله‌ای با پارامترهای n و p است. با توجه به مستقل بودن تکرارهای مختلف آزمایش‌های برنولی تعریف شده در بالا، می‌توان متغیرهای

با توجه به مدل ارائه شده برای روش $LSB-M$ می توان تخمینی از خطای این روش را نیز قبل از استفاده از آن محاسبه کرد. امید ریاضی راهی مناسب برای محاسبه مقدار مورد انتظار یک متغیر تصادفی است. با توجه به تعریف خطا و با استفاده از قواعد آماری، امید ریاضی خطا را می توان بدین ترتیب محاسبه کرد:

$$E(Error) = E\left[\sum_{i=0}^{255} (h_i - H'_i)^2\right] = \sum_{i=0}^{255} E[(h_i - H'_i)^2]$$

پس کافی است بتوان امید ریاضی مربع تفاوت دو ستون معادل از هیستوگرام تصویر پوشانه و استگو را محاسبه کرد. می دانیم:

$$E[(h_i - H'_i)^2] = E[h_i^2] + E[H_i'^2] - 2E[h_i H'_i]$$

با توجه به این که h_i ، مقدار ستون i در هیستوگرام تصویر پوشانه است و مقدار آن مشخص است، بنابراین h_i به صورت یک ثابت فرض می شود و:

$$E[(h_i - H'_i)^2] = h_i^2 + E[H_i'^2] - 2h_i E[H'_i]$$

بنابراین تنها مسئله باقی مانده محاسبه $E[H_i'^2]$ و $E[H'_i]$ است. نشان داده شد که H'_i در جاسازی به روش $LSB-M$ حاصل مجموع سه متغیر تصادفی دو جمله ای است. برای هر متغیر تصادفی X می دانیم که:

$$Mgf_X(t) = E(e^{tx}) \quad , \quad E[X^n] = M_X^{(n)}(0)$$

اگر X یک متغیر تصادفی دو جمله ای باشد:

$$Mgf_X(t) = (pe^t + q)^n$$

$$E[X] = np \quad , \quad E[X^2] = np + n(n-1)p^2$$

بنابراین در مورد سه متغیر تصادفی دو جمله ای M_{-1}, M_0, M_{+1} می وان گفت:

$$Mgf_{M_{+1}}(t) = (1/4 e^t + 3/4)^{h_{i-1}} \quad , \quad E[M_{+1}] = h_{i-1}/4$$

$$Mgf_{M_0}(t) = (1/2 e^t + 1/2)^{h_i} \quad , \quad E[M_0] = h_i/2$$

$$Mgf_{M_{-1}}(t) = (1/4 e^t + 3/4)^{h_{i+1}} \quad , \quad E[M_{-1}] = h_{i+1}/4$$

بعلاوه می دانیم:

$$Mgf_{H'_i}(t) = Mgf_{M_{+1}+M_0+M_{-1}}(t) = Mgf_{M_{+1}}(t) \cdot Mgf_{M_0}(t) \cdot Mgf_{M_{-1}}(t)$$

با جاگذاری مقادیر مناسب در این فرمول و استفاده از فرمول-های قبلی، امیدهای مورد نظر بدین صورت محاسبه می شوند:

$$E[H'_i] = h_{i-1}/4 + h_i/2 + h_{i+1}/4$$

$$H'_{254} = N(\mu_{254} = \frac{(h_{253} + 2h_{254} + 2h_{255})}{4}, \sigma_{254}^2 = \frac{(3h_{253} + 4h_{254} + 4h_{255})}{16})$$

با در دست داشتن مدلی که تا اینجا برای روش $LSB-M$ پیشنهاد کردیم، می توان رفتار الگوریتم $LSB-F$ را نیز مدل نمود، زیرا $LSB-F$ حالتی خاص از الگوریتم عام $LSB-M$ می باشد.

$$H'_{2i} = Bino(n_i = h_{2i} + h_{2i+1}, p = 1/2)$$

$$H'_{2i+1} = n_i - H_{2i}$$

بعلاوه می توان نشان داد که با استفاده از توزیع نرمال نیز مقدار هیستوگرام بعد از جاسازی به روش $LSB-F$ دارای توزیع زیر خواهد بود [۱۴]:

$$H'_{2i} = H'_{2i+1} = N(\mu_i = n_i/2, \sigma_i^2 = n_i/4)$$

۴- تخمین تغییرات هیستوگرام $LSB-M$ و $LSB-F$

یکی از معیارهای مقایسه روش های مختلف پنهان نگاری، بررسی تأثیر هر کدام از روش ها روی هیستوگرام تصویر پوشانه است. روشی که کمترین تغییر را روی هیستوگرام ایجاد کند، در برابر حملاتی مقاومتر هستند که بر مبنای تغییر هیستوگرام کار می کنند. برای بیان عددی از تأثیر هر روش روی هیستوگرام می توان معیاری با عنوان خطا تعریف کرد. خطا را مجموع مربعات تفاضل ستون های معادل هیستوگرام تصویر پوشانه و تصویر استگو تعریف می کنیم:

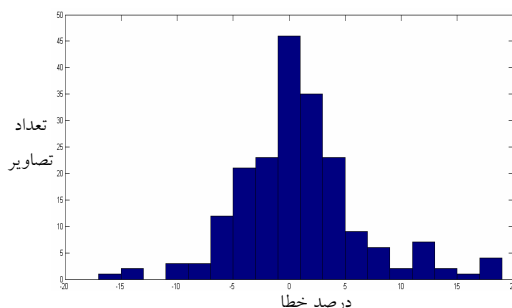
$$Error = \sum_{i=0}^{255} (h_i - h'_i)^2$$

h_i و h'_i ، مقدار ستون i در هیستوگرام تصویر پوشانه و تصویر استگو است. خطای کمتر به معنای تغییر کمتر در هیستوگرام تصویر پوشانه برای بدست آوردن تصویر میزبان نهایی است. مقدار خطا، علاوه بر نوع روش پنهان نگاری به تصویر پوشانه نیز بستگی دارد. بنابراین اگر بتوان قبل از استفاده از یک روش پنهان نگاری خاص، مقدار خطای روش انتخاب شده برای تصویر پوشانه مورد نظر را تخمین زد، آنگاه بهتر می توان در مورد استفاده از آن روش تصمیم گرفت.

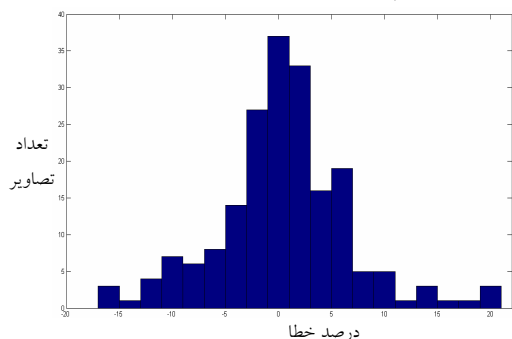
۵- مقایسه نتایج حاصل از تئوری و شبیه سازی

برای تست مدل ریاضی ارائه شده، در ۲۰۰ تصویر با استفاده از الگوریتم $LSB-F$ و $LSB-M$ جاسازی کرده و میزان خطای حاصل از شبیه سازی و خطای حاصل از محاسبات ریاضی را با استفاده از هر دو روش توزیع دوجمله ای و توزیع نرمال محاسبه کردیم. نتایج تخمین خطا با استفاده از هر دو توزیع کاملاً یکسان است. هیستوگرام درصد اختلاف مقدار واقعی و مقدار حاصل از تخمین ریاضی خطا در شکل ۴ و ۵ نشان داده شده است.

این شکل دقت بالای تخمین حاصل از مدل ریاضی ارائه شده را نشان می دهد. همانگونه که دیده می شود در اکثر تصاویر، نتایج شبیه سازی و مدل ریاضی ارائه شده کاملاً مشابه بوده است و اختلاف خطاهای تولید شده برابر با صفر می باشد. بعلاوه مقایسه دو نمودار نشان می دهد که تخمین تغییرات هیستوگرام در روش $LSB-F$ دقیق تر از روش $LSB-M$ انجام شده است.



شکل ۴: هیستوگرام درصد اختلاف شبیه سازی و مدل در $LSB-F$



شکل ۵: هیستوگرام درصد اختلاف شبیه سازی و مدل در $LSB-M$

۶- نتیجه گیری

بررسی رفتار الگوریتم های پنهان نگاری به شناسایی هر چه بهتر مزایا و معایب روش ها، ارائه حملات موفق و بعلاوه

$$E[H_i'^2] = \frac{(h_{i-1} \cdot (h_{i-1} - 1) + 4 \cdot h_i \cdot (h_i - 1) + h_{i+1} \cdot (h_{i+1} - 1))}{16} + \frac{(2 \cdot h_{i-1} \cdot h_i + h_{i-1} \cdot h_{i+1} + 2 \cdot h_i \cdot h_{i+1})}{8} + \frac{(h_{i-1} + 2 \cdot h_i + h_{i+1})}{4}$$

انتظار داریم که مقدار نهایی H_i' در واقع مجموع نیمی از مقدار ابتدایی h_i و 1/4 از مقدار ابتدایی h_{i-1} و 1/4 از مقدار ابتدایی h_{i+1} باشد. مشاهده می شود که مقدار امید H_i' با مقداری که به روش تحلیلی انتظار داشتیم مساوی شده است. این تساوی می تواند تضمینی برای مدل ارائه شده باشد. البته در روابط بالا برای i های موجود در مرز استثنائاتی نیز باید در نظر گرفته شود. با حل شدن مسئله محاسبه $E[H_i']$ و $E[H_i'^2]$ ، حال می توان محاسبه امید خطا را نیز تکمیل کرد.

از طرف دیگر، با توجه به این که H_i' را با یک متغیر تصادفی نرمال نیز مدل کردیم و می دانیم:

$$E[H_i'] = \mu_i, \quad E[H_i'^2] = \mu_i^2 + \sigma_i^2$$

بنابراین با حل شدن مسئله محاسبه $E[H_i']$ و $E[H_i'^2]$ ، حال می توان محاسبه امید خطا را نیز تکمیل کرد.

$$E(\text{Error}) = \sum_{i=0}^{255} (h_i^2 + E[H_i'^2] - 2h_i E[H_i']) \\ = \sum_{i=0}^{255} (h_i^2 + \mu_i^2 + \sigma_i^2 - 2h_i \mu_i)$$

بنابراین با استفاده از توزیع نرمال نیز می توانیم تخمینی از خطای هیستوگرام در روش $LSB-M$ محاسبه کنیم.

مشابه محاسبات بالا را می توان برای تخمین تغییرات هیستوگرام در روش $LSB-F$ نیز تکرار کرد. برای اجتناب از طولانی شدن بحث، تنها به نتایج مدل ریاضی اشاره می کنیم. در صورت استفاده از توزیع دوجمله ای و با در نظر گرفتن رابطه $n_i = h_{2i} + h_{2i+1}$ ، روابط زیر برای $E[H_i']$ و $E[H_i'^2]$ برقرار است:

$$E[H_{2i}'] = E[H_{2i+1}'] = n/2$$

$$E[H_{2i}'^2] = E[H_{2i+1}'^2] = n/2 + n(n-1)/4$$

با استفاده از توزیع نرمال، فرمول محاسبه $E[H_i']$ و $E[H_i'^2]$ در روش $LSB-F$ نیز مشابه فرمول محاسبات توزیع نرمال در روش $LSB-M$ است. فقط تفاوت در مقدار μ_i و σ_i است، که برای هر دو روش در بخش قبل محاسبه کردیم.

- [11] A. D. Ker, "Steganalysis of LSB Matching in Grayscale Images", *IEEE Signal Processing Letters*, Vol. 12, No. 6, June 2005.
- [12] A. Westfeld, "Detecting low embedding rates," in *Proc. Inf. Hiding Workshop, Springer LNCS*, vol. 2578, 2002.
- [13] J. Fridrich, M. Goljan, and R. Du, "Reliable Detection of LSB Steganography in Grayscale and Color Images", *Proc. of ACM: Special Session on Multimedia Security and Watermarking*, pp. 27-30, Ottawa, Canada, 2001.
- [14] مهدوی، م.، سماوی، ش.، ذاکر، ا.، منصور، ف.، "روشی جدید مبتنی بر گرادیان محلی هیستوگرام تصویر برای پنهان شکنی در استگانوگرافی"، دوازدهمین کنفرانس بین المللی کامپیوتر- تهران- اسفند ۱۳۸۵
- [15] A. Ker, "Improved detection of LSB steganography in grayscale images, in *Proc. Inf. Hiding Workshop, Springer LNCS*, vol. 3200, 2004.
- [16] مهدوی، م.، سماوی، ش.، اخوت، م.، اکرمی، ص.، "روش پنهان نگاری تطبیقی بر اساس اغتشاش جمع شونده"، پانزدهمین کنفرانس مهندسی برق ایران، اردیبهشت ۱۳۸۶

پیشنهاد روش‌های پنهان‌نگاری مقام‌تر منجر می‌شود. در این مقاله با ارائه یک مدل ریاضی، رفتار الگوریتم‌های پنهان‌نگاری *LSB-M* و *LSB-F* به طور کامل بررسی شده است. الگوریتم‌های پنهان‌نگاری تغییراتی را در ویژگی‌های تصویر پوشانه ایجاد می‌کنند، که هیستوگرام تصویر یکی از این ویژگی‌ها است. در این مقاله با استفاده از مدل ریاضی ارائه شده برای روش‌های *LSB-M* و *LSB-F*، تخمینی از تغییرات هیستوگرام تصویر ارائه شد. تخمین میزان تغییرات هیستوگرام قبل از جاسازی پیام، می‌تواند مبنایی برای انتخاب تصویری با کمترین تغییر به عنوان تصویر پوشانه باشد. معادل بودن نتایج شبیه‌سازی‌ها و مدل ارائه شده بیانگر صحت فرضیات این مقاله بوده است.

۷- مراجع

- [1] F.A.P. Petitcolas, R.J. Anderson and M.G. Kuhn, "Information Hiding - A Survey", *Proc. of IEEE*, pp.1062-1078, July, 1999.
- [2] R.J Anderson and F.A.P. Petitcolas, "On the Limits of Steganography", *IEEE Journal of Selected Areas in Communications, Special Issue on Copyright and privacy Protection*, Vol. 16(4), pp. 474-481, May 1998.
- [3] M. M. Amin, M. Salleh, S. Ibrahim, M.R. Katmin and M.Z.I. Shamsuddin, "Information Hiding using Steganography", *4th National Conference on Telecommunication Technology Proceedings*, 2003.
- [4] B. ŞİMŞEK, "Steganography in JPEG Images", Dokuz Eylül University, İZMİR, July, 2004.
- [5] N. Provos and P. Honeyman, "Hide and Seek: An Introduction to Steganography", *IEEE Security & Privacy*, pp. 32-44, May-June, 2003.
- [6] N.F. Johnson and S. Jajodia, "Exploring Steganography: Seeing the Unseen", *Computer*, Vol. 31, No. 2, pp.26-34, 1998.
- [7] Y.K Lee and L.H. Chen, "High capacity image steganographic model," *Vision, Image and Signal Processing, IEE Proceedings*, Vol. 147, Jun 2000.
- [8] N. Provos, "Defending Against Statistical Steganalysis", *Proc. 10th Usenix Security Symp, Usenix Assoc.*, pp. 323-335, 2001.
- [9] A. Westfeld, "F5-A Steganographic Algorithm :High Capacity Despite Better Steganalysis", *Proc. 4th Int'l Information Hiding Workshop, Springer-Verlog*, Vol. 2137, Berlin Heidelberg New York, pp.289-302, 2001.
- [10] A. Westfeld and A. Pfitzman, "Attacks on Steganographic Systems", *Proc. 3rd Int'l Information Hiding Workshop, Springer-Verlag*, Berlin Heidelberg New York, pp. 61-76, 1999.